



## بررسی تأثیر میزان pH در تولید نانو ذرات کبالت-آلومینات به روش سنتز احتراقی

شیوا سالم<sup>۱</sup>، سید حمید جزایری<sup>۲</sup>، فدیریکا بندیولی<sup>۲</sup>، علی الهوردی<sup>۲\*</sup>، منصور شیروانی<sup>۴</sup>

۱- دانشجوی دکتری، دانشکده مهندسی شیمی، دانشگاه علم و صنعت، تهران، ایران، صندوق پستی: ۱۶۸۴۶-۱۳۱۱۴

۲- دانشیار، دانشکده مهندسی شیمی، دانشگاه علم و صنعت، تهران، ایران، صندوق پستی: ۱۶۸۴۶-۱۳۱۱۴

۳- دانشیار، دانشکده مهندسی مواد و محیط زیست، دانشگاه مدنار جیبو امیلیا، مدنار، ایتالیا، صندوق پستی: ۴۱۱۰۰

۴- استادیار، دانشکده مهندسی شیمی، دانشگاه علم و صنعت، تهران، ایران، صندوق پستی: ۱۶۸۴۶-۱۳۱۱۴

تاریخ پذیرش: ۹۰/۳/۱۱ در دسترس به صورت الکترونیکی از: ۱۳۹۰/۱۲/۲۰ تاریخ دریافت: ۸۹/۱۲/۱۷

### چکیده

هدف از انجام این تحقیق بررسی عملکرد روش سنتز احتراقی در تولید نانو ذرات  $\text{CoAl}_2\text{O}_4$  و همچنین بررسی تأثیر میزان pH (۷، ۲.۵ و ۰.۵) بر روند تولید و خواص نهایی این نانو رنگدانه سرامیکی است. به این منظور نحوه تشکیل ژل، ریخت‌شناسی، سطح ویژه و رنگ پودرهای XRD، توسط آزمایشات  $\text{XRD}$ ،  $\text{TEM}$ ،  $\text{SEM}$ ،  $\text{TG/DTA}$ ،  $\text{BET}$  و  $\text{UV-Vis}$  مورد بررسی قرار گرفته است. نتایج حاصل از انجام آزمایشات  $\text{XRD}$  نشان می‌دهد که نانو ذرات  $\text{CoAl}_2\text{O}_4$  در هر سه pH مورد مطالعه تشکیل یافته‌اند و با توجه به تصاویر  $\text{TEM}$ ، اندازه متوسط ذرات کمتر از ۷۵ نانومتر گزارش می‌شود. نتایج حاصل از آزمایشات  $\text{UV-Vis}$  نشان می‌دهد که رنگدانه در pH برابر ۲.۵ دارای رنگ آبی مطلوب‌تری است. همچنین نتایج حاکی از این مطلب هستند که pH تأثیر بسیار زیادی بر روند تولید و خواص نانو پودر دارد. بیشترین سطح ویژه و کمترین اندازه متوسط ذرات در pH های بالاتر مشاهده می‌شود.

واژه‌های کلیدی: نانو رنگدانه، اسپینل، سنتز احتراقی، رنگ آبی، لعاب.

## Effect of pH on Characteristics of $\text{CoAl}_2\text{O}_4$ Nano Pigment Obtained by Combustion Synthesis

Sh. Salem<sup>1</sup>, S. H. Jazayeri<sup>1</sup>, F. Bondioli<sup>2</sup>, A. Allahverdi<sup>1</sup>, M. Shirvani<sup>1</sup>

<sup>1</sup> Chemical Engineering Department, Iran University of Science and Technology, P.O.Box: 16846-13114, Tehran, Iran

<sup>2</sup> Department di Ingegneria dei Materiali e dell'Ambiente, Università di Modena e Reggio Emilia, P.O.Box: 41125, Modena, Italy

Received: 07-03-2011

Accepted: 01-06-2011

Available online: 10-03-2012

### Abstract

The aim of this research is to evaluate the efficiency of combustion synthesis method for production of nano  $\text{CoAl}_2\text{O}_4$  and study the influence of pH (2.5, 7, and 10.5) on the characteristics of  $\text{CoAl}_2\text{O}_4$  nano pigments. Gel formation, morphologies, specific surface area, and color of the powder were characterized using TG/DTA, XRD, SEM, TEM, BET, and UV-Vis techniques. The results indicate that spinel  $\text{CoAl}_2\text{O}_4$  was formed independently of the different variables studied. According to the TEM figures, most particles calcined have average particle sizes less than 75 nm. Results show that pH has a strong effect on the procedure and characteristics of  $\text{CoAl}_2\text{O}_4$ . The best value of  $b^*$  is seen at pH 2.5. In line with BET and Scherrer's equation results, maximum specific surface area and minimum average particle size are at pH 7. J. Color Sci. Tech. 5(2012), 345-352 © Institute for Color Science and Technology.

**Keywords:** Nano pigment, Spinel, Combustion synthesis, Blue color, Glaze.

به کار رفته است [۱۴، ۱۳]. ولی تاکنون تحقیقی در زمینه تولید نانو پودرهای آبی رنگ  $\text{CoAl}_2\text{O}_4$  با استفاده از این روش و با استفاده از گلایسین به عنوان سوخت انجام نشده است و همچنین تأثیر میزان pH بر فرآیند مذکور مورد بررسی قرار نگرفته است. هدف از انجام این تحقیق بررسی عملکرد روش سنتز احتراقی جهت تولید نانو پودر  $\text{CoAl}_2\text{O}_4$  با استفاده از گلایسین به عنوان سوخت است. به این منظور از محلول مواد اولیه شامل  $\text{Co}(\text{NO}_3)_2 \cdot 6\text{H}_2\text{O}$ ,  $\text{Al}(\text{NO}_3)_3 \cdot 9\text{H}_2\text{O}$  و  $\text{NH}_2\text{CH}_2\text{COOH}$  (یکی از ارزان‌ترین آمینو اسیدها است و به عنوان  $\text{NH}_2\text{CH}_2\text{COOH}$ ) یکی از کمپلکس کننده عمل می‌نماید [۱۵]. زیرا در یک سمت دارای گروه کربوکسیلیک اسید و در سمت دیگر دارای گروه آمینو است. همچنین در این تحقیق بررسی تأثیر میزان pH محلول اولیه بر روند تولید و خواص محصول نهایی مورد ارزیابی قرار گرفته است، به این منظور نحوه تشکیل ژل، ریخت‌شناسی، سطح ویژه و رنگ پودرهای حاصل، توسط آزمایشات XRD, TG/DTA, SEM, BET, TEM و UV-Vis مورد بررسی قرار گرفته است و در نهایت به منظور بررسی مقاومت حرارتی رنگدانه و همچنین تأثیر رنگدانه بر نحوه رفتار لعب صنعتی در برابر افزایش درجه حرارت، نتایج حاصل از آزمایش HSM مورد بررسی قرار گرفته است.

## ۲- روش تجربی

### ۲-۱- مواد

از مواد اولیه شامل  $\text{Co}(\text{NO}_3)_2 \cdot 6\text{H}_2\text{O}$ ,  $\text{Al}(\text{NO}_3)_3 \cdot 9\text{H}_2\text{O}$  و گلایسین با خلوص ۹۹,۹٪ به عنوان پیش ماده استفاده شد.

### ۲-۲- روش کار

ابتدا محلولی از مواد  $\text{Co}(\text{NO}_3)_2 \cdot 6\text{H}_2\text{O}$  و  $\text{Al}(\text{NO}_3)_3 \cdot 9\text{H}_2\text{O}$  به طوری که نسبت  $\text{Co}/\text{Al}$  برابر ۱ به ۲ باشد. سپس گلایسین به محلول اضافه گردید و نسبت گلایسین به نیترات برابر ۰,۳۶ تنظیم شد. به منظور تنظیم pH به محلول اضافه گردید و pH برابر ۷ تنظیم شد و pH نهایی پیش ماده<sup>۳</sup> با استفاده از  $\text{HNO}_3$  و محلول  $(\text{NH}_4\text{OH})$  روی ۷, ۲,۵ و ۱۰,۵ تنظیم گردید. لازم به ذکر است که پیش ماده با pH برابر ۲,۵ دارای حالت کاملاً یکنواخت و شفاف بود. در حالی که عدم یکنواختی و رسوب‌گذاری در پیش ماده‌های با pH برابر ۷ و ۱۰,۵ دیده شد.

بعد از تنظیم pH، پیش ماده بر روی گرم‌کن که دمای آن روی ۱۱۰ °C تنظیم شده بود قرار گرفت. بعد از تبخیر آب، محلول پیش ماده تبدیل به ژل غلیظی شد. سپس این ژل غلیظ در کوره‌ای که دمای آن بر روی ۵۰۰ °C تنظیم شده بود، قرار گرفت. پیش ماده با

### ۱- مقدمه

ساختارهای اسپینلی در سال‌های اخیر کاربردهای زیادی را در صنایع الکترونیکی، کاتالیزور و رنگ یافته‌اند. فرمول کلی این ساختارها به صورت  $\text{A}^{2+}\text{B}_2^{3+}\text{O}_4$  بوده و بلورهای مکعبی شکل هستند. A نشان دهنده کاتیون‌هایی است که در جایگاه‌های تتراهرال<sup>۱</sup> قرار می‌گیرند و B نشان دهنده کاتیون‌هایی است که در جایگاه اکتاهرال<sup>۲</sup> قرار می‌گیرند. در هر واحد، چیدمان ۳۲ اتم اکسیژن به طوری است که جایگاه تتراهرال و ۲۲ جایگاه اکتاهرال تشکیل شده است. تحقیقات مختلفی جهت تولید نانو رنگدانه‌های اسپینلی  $\text{AAI}_2\text{O}_4$  انجام شده است. در این تحقیقات  $\text{Fe}^{3+}$ ,  $\text{Ni}^{2+}$ ,  $\text{Cr}^{3+}$ ,  $\text{Co}^{2+}$  و  $\text{Cu}^{2+}$  جایگزین A در فرمول مذکور شده و به این وسیله پودرهایی با رنگ‌های متفاوت تولید شده است [۱-۴].

یکی از رنگدانه‌هایی که امروزه مورد استفاده قرار می‌گیرد، رنگدانه  $\text{CoAl}_2\text{O}_4$  است. همان‌طور که ذکر شد این رنگدانه نیز دارای ساختار اسپینلی است. این ترکیب به طور گسترشده‌ای به عنوان رنگدانه آبی سرامیکی معدنی مورد استفاده قرار می‌گیرد و به آبی تنارد (آبی فیروزه‌ای) معروف است. یکی از معمول‌ترین روش‌های تولید این رنگدانه استفاده از واکنش در فاز جامد است. در این روش مواد اولیه به روش مکانیکی مخلوط شده و سپس کلیسینه کردن به مدت طولانی و تا دمای ۱۳۰۰ °C انجام می‌شود. عدم یکنواختی محصول، اندازه درشت ذرات و کنترل ضعیف استکیومتری واکنش، جزء معایب این روش محسوب می‌شود [۴, ۵]. از آنجایی که روش سنتز نقش بسیار مهمی بر خواص محصول نهایی دارد، لذا امروزه از روش‌های جدیدتری به منظور تولید نانو ذرات  $\text{CoAl}_2\text{O}_4$  استفاده می‌شود. به طور مثال روش‌های شیمی تر مانند سل-ژل [۷, ۸]، امولسیون [۹]، هیدروترمال [۱۰] و هم رسوی [۱۲] و ... به این منظور به کار رفته‌اند.

در بین روش‌های شیمی تر، روش سنتز احتراقی یک روش ارزان و سریع به منظور تولید نانو ذرات اکسیدی است. این روش به طور کلی شامل تجزیه گرمایی یک سوخت (مانند اسید سیتریک، اوره و ...) و یک اکسید کننده (مانند نیترات) است. محصول نهایی این روش بسیار ریز، یکنواخت و خالص است. گرمادهی این فرآیند متناسب است با نسبت سوخت به اکسیدان. حجم گازهای تولید شده توسط این فرآیند، باعث سریع سرد شدن محصول نهایی و هسته‌زایی بدون رشد ذرات می‌شود. همچنین این حجم گاز مانع از به هم چسبیدن ذرات و کلوخه‌شدن آنها می‌شود و نهایتاً محصولی با دانه‌های بسیار ریز تولید می‌کند [۶, ۱۳ و ۱۴]. نوع سوخت مورد استفاده و pH محلول اولیه تأثیر بسیار زیادی بر کیفیت محصول دارد.

هرچند روش سنتز احتراقی به منظور تولید نانو پودرهای مختلفی

1- Tetrahedral

2- Octahedral

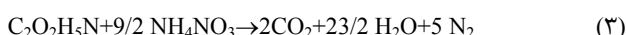
ریخت‌شناسی ذرات توسط آزمایشات SEM<sup>۵</sup> و TEM<sup>۶</sup> به ترتیب با استفاده از (FEI) XL-30 و JEM 2010, JEOL مورد ارزیابی قرار گرفت.

بررسی رفتار لیاب بدون رنگدانه و حاوی رنگدانه در اثر افزایش درجه حرارت توسط HSM<sup>۷</sup> و با استفاده از دستگاه ODHT-HSM, Expert Systems Srl انجام پذیرفت.

### ۳- نتایج و بحث

شکل ۲-الف، ۲-ب و ۲-ج نمودار TG/DTA ژل‌های خشک شده با pH های ۰, ۲, ۵ و ۱۰, ۵ را نشان می‌دهد. نمودار TG هر سه نمونه افت وزنی ۹۰٪ را نشان می‌دهد. در شکل ۲-الف، تا حدود ۲۰۰ °C نمودار TG با روند ملایمی کاهش می‌یابد که نشان‌دهنده تبخیر مواد فرار است. در حدود ۲۸۰ °C نمودار TG دچار افت شدید می‌شود. در این حالت سوخت یعنی گلایسین به دمای اشتعال خود می‌رسد. همزمان با اشتعال گلایسین، واکنش‌های تجزیه‌ای نیز اتفاق می‌افتد. پیک نمودار DTA در دمای حدود ۲۸۰ °C هم تایید کننده عملیات فوق است. بعد از مرحله اشتعال نمودار TG تقریباً ثابت بوده و دچار تغییر نمی‌شود. همانطور که قبل از گردید هنگامی که pH پیش ماده برابر ۲, ۵ است، مرحله اشتعال به صورت انفجاری انجام می‌پذیرد و زمان کمی جهت انجام واکنش مورد نیاز است. نمودار TG/DTA تایید کننده این مطلب است. زمانیکه pH برابر ۰, ۵ و ۱۰, ۵ است واکنش به صورت آرام انجام می‌شود. همانطور که در شکل ۲-ب و ۲-ج مشاهده می‌شود، نمودار TG بعد از دمای ۲۸۰ °C با شبیه ملایمی کاهش می‌یابد. همچنین نمودار DTA این ژل‌ها هم نشان دهنده دو پیک است که نشان می‌دهد مرحله اشتعال در دو مرحله انجام می‌پذیرد.

جهت بررسی دلیل تفاوت نمودارهای TG/DTA ژل‌ها با pH‌های مختلف، ابتدا بهتر است واکنش‌های تجزیه‌ای و همچنین تشکیل ذرات کیالت-آلومینات مورد بررسی قرار گیرد. سازوکار انجام آزمایشات به صورت زیر پیش‌بینی می‌شود:

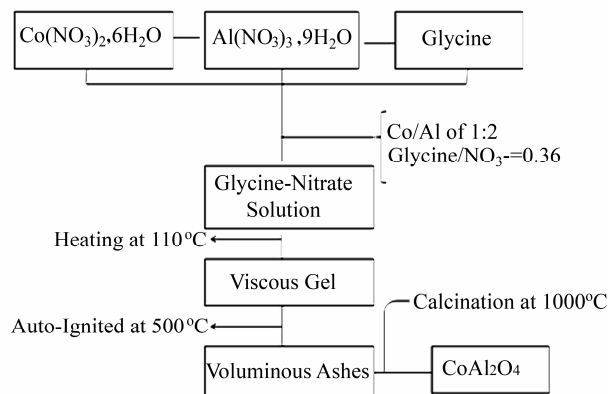


5- Scanning Electron Microscopy

6- Transmission Electron Microscopy

7- Hot Stage Microscopy

pH برابر ۲, ۵ دارای شعله انفجاری بود و کل مرحله اشتعال در کمتر از ۱ دقیقه به اتمام رسید. درحالی که اشتعال پیش ماده با pH برابر ۷ و ۱۰, ۵ دارای حالتی آرام، یکنواخت و غیر انفجاری بود و مرحله اشتعال به ترتیب حدود ۷ و ۱۰ دقیقه به طول انجامید. بعد از مرحله اشتعال محصول به صورت خاکستر تیره رنگی حاصل شد. بعد از از عملیات سایش، خاکستر به منظور کلسینه کردن به مدت یک ساعت در کوره با دمای ۱۰۰ °C قرار گرفت و در نهایت محصول به صورت پودر آبی رنگ حاصل شد. دلیل انتخاب دمای ۱۰۰ °C برای مرحله کلسینه کردن، در مقاله دیگری که به بررسی تأثیر درجه حرارت بر خواص نانو پودر CoAl<sub>2</sub>O<sub>4</sub> پرداخته، مورد بررسی قرار گرفته است [۱۶]. به منظور درک بهتر روش سنتز احتراقی، شمایی از مراحل سنتز در شکل ۱ نشان داده شده است.



شکل ۱: شمایی از مراحل روش سنتز احتراقی جهت تولید نانو CoAl<sub>2</sub>O<sub>4</sub>.

آزمایشات<sup>۱</sup> TG و<sup>۲</sup> DTA توسط دستگاه mod. 409 Netzsch، بر روی ژل‌های خشک شده انجام شد. به این منظور mg از ژل با سرعت<sup>-۱</sup> ۱۰ °C min از ۲۰ تا ۶۰۰ °C حرارت داده شد. سطح ویژه پودرهای BET اندازه‌گیری شد. مشخصات دستگاه مورد استفاده در زیر آورده شده است.

(Gemini 2360 apparatus, Micromeritics, Norcross, GA, USA)

آزمایشات<sup>۳</sup> XRD با استفاده از دستگاه X'PERT PRO, Philips Research Laboratories قبل و بعد از مرحله کلسینه کردن بر روی پودرهای انجام شد. اندازه بلور ذرات توسط فرمول شر<sup>۴</sup> اندازه‌گیری شد. به منظور تعیین میزان کربن موجود در پودرهای حاصل آزمایشات آنالیز عنصری با استفاده از دستگاه Carlo Erba EA 1110 انجام پذیرفت.

- 1- Thermogravimetric
- 2- Differential Thermal Analysis
- 3- X-ray Diffraction
- 4- Scherrer

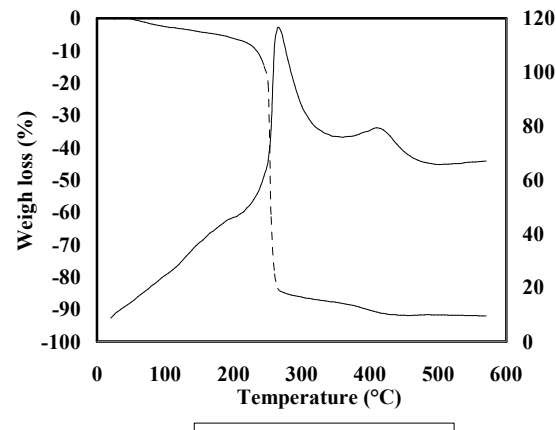
وآکنش‌های ۱ و ۲ در مرحله ژل شدن و سایر واکنش‌ها در مرحله اشتعال اتفاق می‌افتد. پیک مشاهده شده در نمودار DTA شکل مذکور، در دمای حدود  $280^{\circ}\text{C}$  هم تایید کننده عملیات تجزیه گرمزای گلیسین و سایر اکسیدکننده‌ها است. دلیل تفاوت نمودارهای TG/DTA ژل‌ها با pH‌های مختلف، می‌تواند به دلیل تشکیل ترکیبات واسط مختلف در حین واکنش باشد. به طور مثال در تحقیقات انجام شده توسط پنگ<sup>۱</sup> و همکاران<sup>[۱۴]</sup> نشان داده شده است که ترکیبات به عنوان ترکیبات واسط در pH‌های ۷، ۵، ۱۰ و ۱۰،۵ ظاهر می‌شوند. تفاوت میزان انرژی لازم جهت فعل و انفعالات این ترکیبات واسط می‌تواند دلیل متفاوت بودن روند تغییرات نمودارهای TG/DTA باشد.

میزان کربن و نیتروژن موجود در نانو پودرهای حاصل از روش سنتز احتراقی قبل و بعد از مرحله کلسینه کردن در جدول ۱ نشان داده شده است. میزان کربن قبل از مرحله کلسینه کردن برابر حدود ۱،۱٪ است و این میزان بعد از مرحله کلسینه کردن به حدود ۱،۱٪ کاهش می‌یابد. میزان کم کربن موجود در پودرهای نشان ۰،۵٪ ناشی از نظر گرفتن یک ساعت زمان اقامت در کوره با دمای ۱۰۰۰°C می‌دهد که در تکمیل مرحله کلسینه کردن محاسبه می‌شود. همچنین میزان کم کربن و نیتروژن موجود در پودرهای قبل از مرحله کلسینه کردن حاکی از این است که دمای انتخاب شده برای مرحله اشتعال دمای مناسبی است به طوری که تضمین کننده تکمیل آکنش‌ها در این مرحله است.

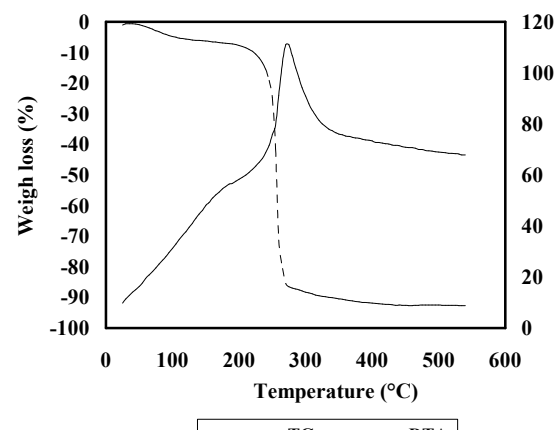
**جدول ۱:** میزان کربن و نیتروژن موجود در نانو پودرهای حاصل از روش سنتز احتراقی قبل و بعد از مرحله کلسینه کردن.

دما (°C)	pH	میزان کربن (%)	میزان نیتروژن (%)
قبل از مرحله کلسینه کردن	۲,۵	۰,۱۴	۰,۰۹
۷	۱۰,۵	۰,۰۹	۰,۰۵
۱۰۰	۷	۰,۰۱	۰,۰۰
	۱۰,۵	۰,۰۲	۰,۰۳

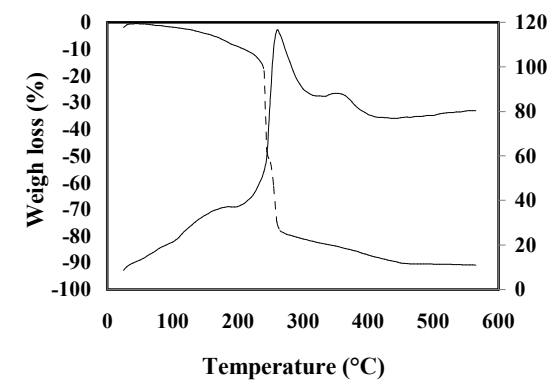
میزان سطح ویژه پودرهای حاصل در جدول ۲ نشان داده شده است. میزان سطح ویژه پودرها قبل از مرحله کلسینه کردن در بهترین حالت برابر  $30 \text{ m}^2 \text{ g}^{-1}$  است و بعد از کلسینه کردن در دمای  $1000^{\circ}\text{C}$  این میزان به حدود  $19 \text{ m}^2 \text{ g}^{-1}$  کاهش می‌یابد. دلیل این امر افزایش میزان کلوخه‌ای شدن در اثر افزایش دما و همچنین افزایش اندازه پورهای همچنین نتایج حاصل حاکی از این مطلب است که



الف



۲



شكل ٢: الف: نمودار TG/DTA ٰزل با pH برابر ٢، ٥، ب: نمودار  
نمودار TG/DTA ٰزل با pH برابر ٧، ج: نمودار TG/DTA ٰزل با pH برابر ١٠، ٥

نمودار XRD پودرهای حاصل قبل از و بعد از کلسینه کردن در دمای  $^{\circ}\text{C}$  ۱۰۰۰ به ترتیب در شکل ۳-الف و ۳-ب نشان داده شده است. نتایج حاصل نشان می‌دهد که ذرات  $\text{CoAl}_2\text{O}_4$  در تمام شرایط مورد مطالعه تشکیل یافته‌اند [۱۷] و تغییر  $\text{pH}$  تفاوت چندانی را بر نمودار XRD محصولات ایجاد نکرده است. پس می‌توان نتیجه گرفت تغییر  $\text{pH}$  تغییری در ماهیت محصول ایجاد نمی‌کند. همچنین مقایسه دو نمودار ۳-الف و ۳-ب نشان می‌دهد که بعد از مرحله کلسینه کردن، اندازه بلورها به طور قابل توجهی افزایش می‌یابد. این نتیجه در تطابق با نتیجه حاصل از اندازه‌گیری سطح ویژه پودرهای است. به منظور بررسی دقیق تر پودرهای حاصل، اندازه متوسط ذرات توسط رابطه ۱ محاسبه گردید.

$$D_c = \frac{k\lambda}{\beta \cos \theta} \quad (1)$$

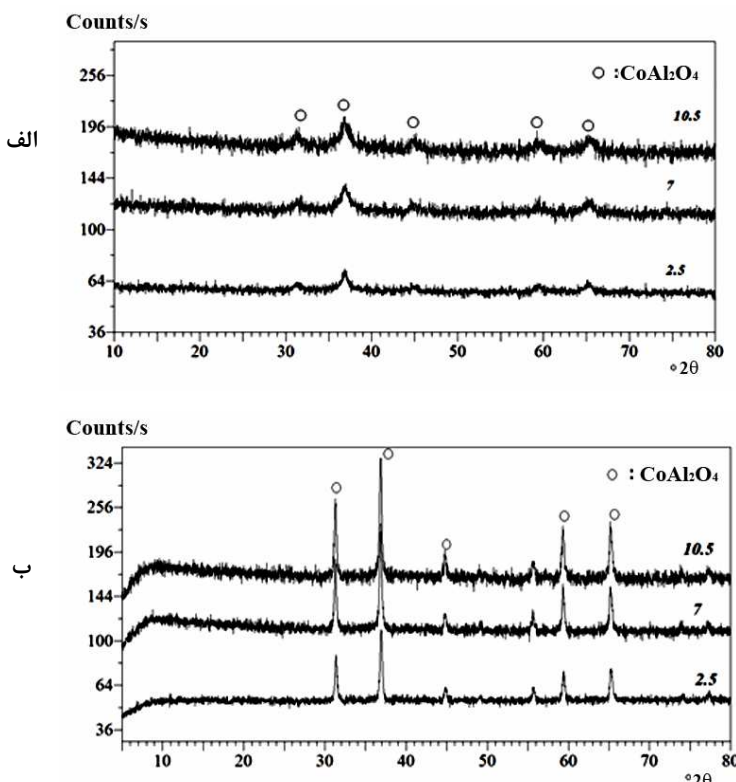
که در آن،  $D_c$  نشان دهنده متوسط اندازه بلور و منظور از  $\beta$  پهنه‌ای پیک ثبت شده در نمودار XRD است،  $k$  ضریب شکل<sup>۱</sup> نامیده می‌شود و مقدار آن معمولاً برابر ۰,۹ است و منظور از  $\lambda$  طول موج اشعه X است [۱۸].

۱- Shape factor

هنگامی که pH پیش ماده برابر ۲,۵ است، سطح ویژه کمترین مقدار خود را دارد. زیرا در این شرایط واکنش به صورت انفجاری انجام می‌گیرد. گرمای زیاد حاصل از این واکنش باعث افزایش دمای محیط و در نتیجه به هم چسبیدن و افزایش میزان کلخهای شدن می‌شود. با افزایش میزان pH واکنش به صورت آرام انجام پذیرفت و در نتیجه دمای محیط کمتر از حالت قبل خواهد بود. با توجه به مطالب ذکر شده می‌توان به این نتیجه رسید که یک واکنش آرام جهت تولید ذرات ریزتر مطلوب‌تر از زمانی است که واکنش به صورت انفجاری انجام می‌شود.

جدول ۲: میزان سطح ویژه پودرهای حاصل روش سنتز احتراقی قبل و بعد از کلسینه کردن.

سطح ویژه ( $\text{m}^2 \text{g}^{-1}$ )	pH	دما ( $^{\circ}\text{C}$ )
۱۷,۹	۲,۵	قبل از مرحله کلسینه کردن
۳۰	۷	
۲۵	۱۰,۵	
۱۲,۹	۲,۵	۱۰۰۰
۱۹,۳	۷	
۱۹,۲	۱۰,۵	



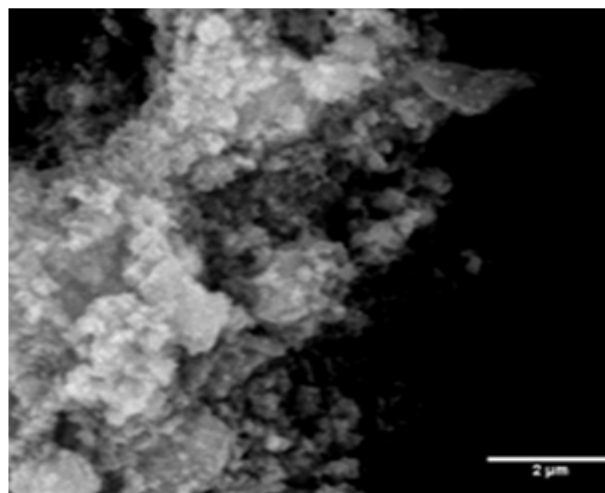
شکل ۳: الف: نمودار XRD پودرهای حاصل از روش سنتز احتراقی با pH های مختلف قبل از مرحله کلسینه کردن، ب: نمودار XRD پودرهای حاصل از روش سنتز احتراقی با pH های مختلف بعد از کلسینه کردن در دمای  $^{\circ}\text{C}$  ۱۰۰۰.

این موضوع در مقاله دیگری به تفصیل مورد بررسی قرار خواهد گرفت. همانطور که مشاهده می شود میزان  $a^*$  و  $L^*$  با تغییر pH تفاوت قابل ملاحظه ای نمی نماید.

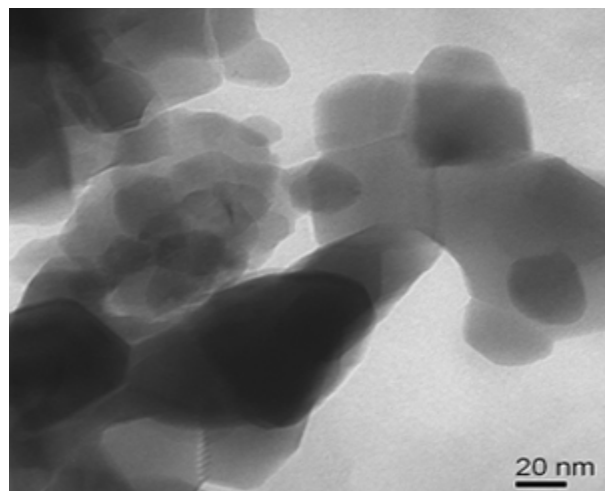
در پایان به منظور مشخص شدن تأثیر لعاب و همچنین درجه حرارت بر رنگ رنگدانه حاصل شده و همچنین تأثیر رنگدانه بر رفتار لعاب، آزمایش HSM بر روی لعاب صنعتی حاوی ۲٪ نانو رنگدانه انجام شد.

جدول ۴: میزان مؤلفه های  $a^*$ ,  $b^*$  و  $L^*$  پودرهای حاصل از روش سنتز احترافی تحت منبع نوری D65 و مشاهده کننده ۱۰ درجه.

$L^*$	$a^*$	$b^*$	pH	دما (°C)
۴۹,۷	-۹,۶	-۲۲,۶۳	۲,۵	
۴۵,۲	-۵,۲۷	-۱۳,۸۴	۷	۱۰۰
۴۷,۱	-۷,۷	-۱۶,۹۳	۱۰,۵	



شکل ۴: تصویر SEM پودر با pH برابر ۷.



شکل ۵: تصویر TEM پودر با pH برابر ۷.

نتایج حاصل در جدول ۳ نشان داده شده است. همانطور که مشاهده می شود قبل از مرحله کلسینه کردن، اندازه متوسط ذرات حدود ۲۰ نانومتر است و بعد از مرحله کلسینه کردن این میزان به حدود ۵۰ نانومتر افزایش می یابد. البته می توان به این نتیجه رسید که حتی بعد از کلسینه کردن پودرهای تا دمای ۱۰۰۰°C، اندازه پودرها همچنان در مقیاس نانومتر قرار دارد. به منظور حصول اطمینان از نانومتر بودن ذرات حاصل، آزمایشات SEM و TEM بر روی پودری که توسط پیش ماده با pH برابر ۷ تولید شده بود، انجام گردید. نتایج حاصل در شکل های ۴ و ۵ نشان داده شده است. تصویر SEM حاکی از این مطلب است که کلخه شدن در نانو پودر تولید شده مشاهده می شود. این کلخه شدن در تصویر TEM نیز مشخص شده است. همچنین تصویر TEM نشان می دهد هر چند تقریباً همگی ذرات دارای اندازه زیر ۱۰۰ نانومتر هستند، ولی عدم یکنواختی در اندازه ذرات دیده می شود. به منظور بدست آوردن توزیع اندازه ذرات و محاسبه متوسط اندازه ذرات توسط تصاویر TEM از نرم افزار ImageJ استفاده شد. اما به دلیل تراکم بسیار زیاد ذرات، نتایج حاصل غیر قابل استفاده بودند. در این موارد، مشاهدات فرد می تواند کمک بهتری جهت محاسبه متوسط اندازه ذرات باشد. متوسط اندازه ذرات حاصل از این روش کمتر از ۷۵ نانومتر گزارش شد. نتیجه مطلوبی که نشان می دهد روش سنتز احترافی با استفاده از گلاسین به عنوان سوت، می تواند روش مناسبی جهت تهیه نانو پودر  $\text{CoAl}_2\text{O}_4$  باشد.

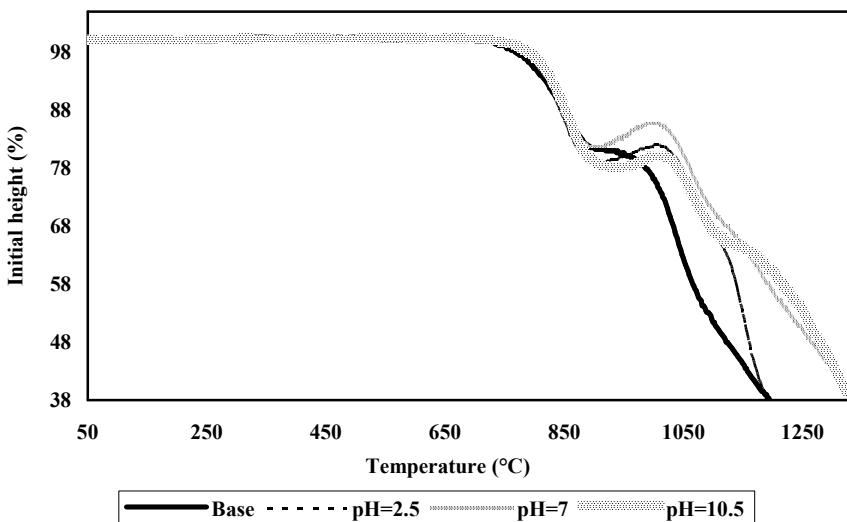
جدول ۳: اندازه متوسط پودرهای حاصل از روش سنتز احترافی (محاسبه شده توسط رابطه شر).

اندازه متوسط ذرات (nm)	pH	دما (°C)
۲۰	۲,۵	قبل از مرحله کلسینه کردن
۱۹	۷	
۱۸	۱۰,۵	۱۰۰
۵۲	۲,۵	
۵۱	۷	۱۰۰
۴۹	۱۰,۵	

جهت تعیین کیفیت رنگ نانو رنگدانه حاصل، مؤلفه های  $a^*$ ,  $b^*$  و  $L^*$  با استفاده از آزمایش UV-Vis اندازه گیری شد. مؤلفه  $a^*$  نشان دهنده سبزی - قرمزی، مؤلفه  $L^*$  نشان دهنده سفید - سیاه بودن و مؤلفه  $b^*$  نشان دهنده آبی - زرد بودن محصول است. بدین معنی که هرچه میزان  $b^*$  منفی تر باشد، محصول دارای رنگ آبی بهتری است. با توجه به جدول ۴ می توان دریافت که نانو پودرهای حاصل دارای رنگ آبی مطلوبی هستند [۱۹، ۲۰]. به طوری که میزان  $b^*$  در پودر با pH برابر ۲,۵ به میزان ۲۲ هم رسیده است. دلیل تغییر میزان  $b^*$  با تغییر میزان pH می تواند به دلیل تغییر ساختار اسپینلی نانو رنگدانه باشد.

جدول ۵: ترکیب شیمیایی لعاب مورد استفاده.

SnO <sub>2</sub>	TiO <sub>2</sub>	Fe <sub>2</sub> O <sub>3</sub>	MgO	CaO	K <sub>2</sub> O	Na <sub>2</sub> O	Al <sub>2</sub> O <sub>3</sub>	SiO <sub>2</sub>	اکسیدها
۰,۷	۰,۴۶	۰,۳	۱۰,۴۰	۱۲,۴۰	۱,۰۳	۰,۹۳	۱۱,۸۰	۶۱,۹۵	wt. %



شکل ۶: رفتار لعاب صنعتی بدون رنگدانه و حاوی نانو رنگدانه ها با pH های مختلف در اثر افزایش درجه حرارت.

۷ و ۱۰,۵ به صورت آرام اتفاق می‌افتد.

۳- با توجه به نتایج حاصل از اندازه‌گیری سطح ویژه و اندازه متوسط ذرات یک واکنش آرام جهت تولید نانو پودر CoAl<sub>2</sub>O<sub>4</sub> پیشنهاد می‌شود. با توجه به اینکه حجم NH<sub>4</sub>(OH) مصرفی جهت تولید پیش ماده با pH برابر ۱۰,۵، دو برابر پیش ماده با pH برابر ۷ است، لذا pH برابر ۷ به عنوان بهترین شرایط جهت تولید نانو پودر CoAl<sub>2</sub>O<sub>4</sub> با استفاده از روش سنتز احتراقی پیشنهاد می‌شود.

در نهایت آزمایشات HSM نشان داد که بعد از اختلاط لعاب با رنگدانه و حرارت دهی تا دمای ۱۳۰۰ °C، رنگدانه مقاومت حرارتی خوبی را از خود نشان می‌دهد. هر چند باعث تغییر رفتار لعاب صنعتی در برابر افزایش دما pH می‌شود.

#### تشکر و قدردانی

بدینوسیله نویسندهای این مقاله تقدیر و تشکر خود را از جناب آقای دکتر سید حمید جزایری که نقش بسیار مؤثری در طرح و اجرا این تحقیق بر عهده داشتند، اعلام می‌دارند. متأسفانه ایشان در سانحه رانندگی جان به جان آفرین تسلیم نمودند. روحشان شاد و راهشان پر رهو باد.

ترکیب درصد لعاب در جدول ۵ نشان داده شده است. با استفاده از این آزمایش مخلوط لعاب و رنگدانه تا حد ۱۳۰۰ °C حرارت داده شد. نتایج نشان داد که بعد از حرارت دهی تا این درجه حرارت، رنگدانه مقاومت حرارتی خوبی از خود نشان داده و رنگ آبی رنگدانه حفظ می‌شود. در شکل ۵ رفتار لعاب صنعتی بدون رنگدانه و همچنین لعاب حاوی نانو رنگدانه ها با pH های مختلف نشان داده شده است. همان طور که مشاهده می‌شود، رنگدانه باعث تغییر رفتار لعاب در اثر افزایش درجه حرارت شده است.

#### ۴- نتیجه‌گیری

با توجه به نتایج حاصل می‌توان نتیجه گرفت که:

- روش سنتز احتراقی با استفاده از گلایسین به عنوان سوخت، یک روش بسیار مناسب جهت تهیه نانو پودر CoAl<sub>2</sub>O<sub>4</sub> است. چرا که نتایج حاصل از آزمایشات XRD، TEM و BET نشان می‌دهد که با استفاده از این روش می‌توان پودری خالص با اندازه متوسط ذرات کمتر از ۱۰۰ نانومتر و با سطح ویژه مناسب تهیه نمود.
- pH می‌پیش ماده مورد استفاده تأثیر بسیار زیادی بر روند و خواص نانو پودر حاصل دارد. به این دلیل که واکنش پیش ماده با pH برابر ۲,۵ به صورت انفجاری و با سرعت بالا و واکنش پیش ماده با pH برابر

## -مراجع-

1. K. E. Sickafus, J. M. Wills, Structure of spinel. *Am. Ceram. Soc.* 82(1999), 3279-92.
2. J. K. Burdett, G. L. Price, S. L. Price, Role of the crystal-field theory in determining the structures of spinels. *Am. Chem. Soc.* 104(1982), 104: 92-95.
3. S. Chokkaram, R. Srinivasan, D. R. Milbrun, B. H. Davis, Conversion of 2-octanol over nickel-alumina, cobalt-alumina, and alumina catalysts. *Mol. Catal. A Chem.* 121(1997), 157-169.
4. B. Bashirzade, S. H. Jazayeri, M. A. Faghihi Sani, Z. Nemati, The synthesis of brown pigment based on Fe, Zn and Cr spinel. *Prog. Color Colorants Coat.* 2(1387), 49-56.
5. C. Wang, S. Liu, L. Liu, X. Bai, Synthesis of cobalt-aluminate spinels via glycine chelated precursors. *Mater. Chem. Phys.* 96(2006), 361-370.
6. W. Li, J. Li, J. Guo, Synthesis and characterization of nano crystalline  $\text{CoAl}_2\text{O}_4$  spinel powder by low temperature combustion. *Eur. Ceram. Soc.* 23(2003), 2289-2295.
7. M. S. Niasari, M. F. Khouzani, F. Davar, Bright blue pigment  $\text{CoAl}_2\text{O}_4$  nano crystals prepared by modified sol-gel method. *Sol-Gel Sci. Technol.* 52(2009), 321-327.
8. D. Segal, Chemical synthesis of ceramic materials. *Mater. Chem.* 7(1997), 1297-1305.
9. M. Lade, H. Mays, J. Schmidt, R. Willumeit, R. Schomacker, On the nano particle synthesis in microemulsions: detailed characterization of an applied reaction mixture. *Colloids. Surf. A: Physicochem. Eng. Aspec.* 163(2000), 3-15.
10. W. L. Suchanek, R. E. Rimann, Hydrothermal Synthesis of Advanced Ceramic Powders. *Adv. Sci. Technol.* 45(2006), 184-193.
11. Z. Chen, E. Shi, W. Li, Y. Zheng, W. Zhong, Hydrothermal synthesis and optical property of nano-sized  $\text{CoAl}_2\text{O}_4$  pigment. *Mater. Lett.* 55(2002), 281-284.
12. D. M. A. Melo, J. D. Cunha, J. D. G. Fernandes, M. I. Bernardi, M. A. F. Melo, A. E. Martinelli, Evaluation of  $\text{CoAl}_2\text{O}_4$  as ceramic pigments. *Mater. Res. Bull.* 38(2003), 1559-1664.
13. R. D. Purohit, S. Saha, A. K. Tyagi, Powder characteristics and sinterability of ceria powders prepared through different routes. *Ceram. Int.* 32 (2006), 143-146.
14. T. Peng, X. Liu, K. Dai, J. Xiao, H. Song, Effect of acidity on the glycine-nitrate combustion synthesis of nano crystalline alumina powder. *Mater. Res. Bull.* 41(2006), 1638-1645.
15. M. D. Lima, R. Bonadimann, M. J. Andrade, J. C. Toniolo, C. P. Bergmann, Nanocrystalline  $\text{Cr}_2\text{O}_3$  and amorphous  $\text{CrO}_3$  produced by solution combustion synthesis. *Eur. Ceram. Soc.* 26(2006), 1213-1220.
16. Sh. Salem, S. H. Jazayeri, F. Bondioli, A. Allahverdi, M. Shirvani, Evaluation of two different methods to synthesize cobalt-aluminate spinel. *Ceram. Process. Res.* 12(2011), 677-681.
17. N. Ouahdi, S. Guillemet, B. Durand, R. E. Ouatib, L. E. Rakho, R. Moussab, A. Samdi, Synthesis of  $\text{CoAl}_2\text{O}_4$  by double decomposition reaction between  $\text{LiAlO}_2$  and molten  $\text{KCoCl}_3$ . *Eur. Ceram. Soc.* 28(2008), 1987-1994.
18. H. P. Klug, L. E. Alexander, X-ray diffraction procedures for polycrystalline and amorphous materials. *Chem. Educ.* 32(1955), 228-235.
19. S. Ahmed, H. A. Dessouki, A. A. Ali, Synthesis and characterization of new nano-particles as blue ceramic pigment. *Spectrochim. Acta Part A* 71(2008), 616-620.
20. N. Ouahdi, S. Guillemet, J. J. Demai, B. Durand, L. E. Rakho, R. Moussa, A. Samdi, Investigation of the reactivity of  $\text{AlCl}_3$  and  $\text{CoCl}_2$  toward molten alkali-metal nitrates in order to synthesize  $\text{CoAl}_2\text{O}_4$ . *Mater. Lett.* 59(2005), 334-340.